

Звіт про роботу наукового гуртка з «Вірусології» 2019-2020 н.р.

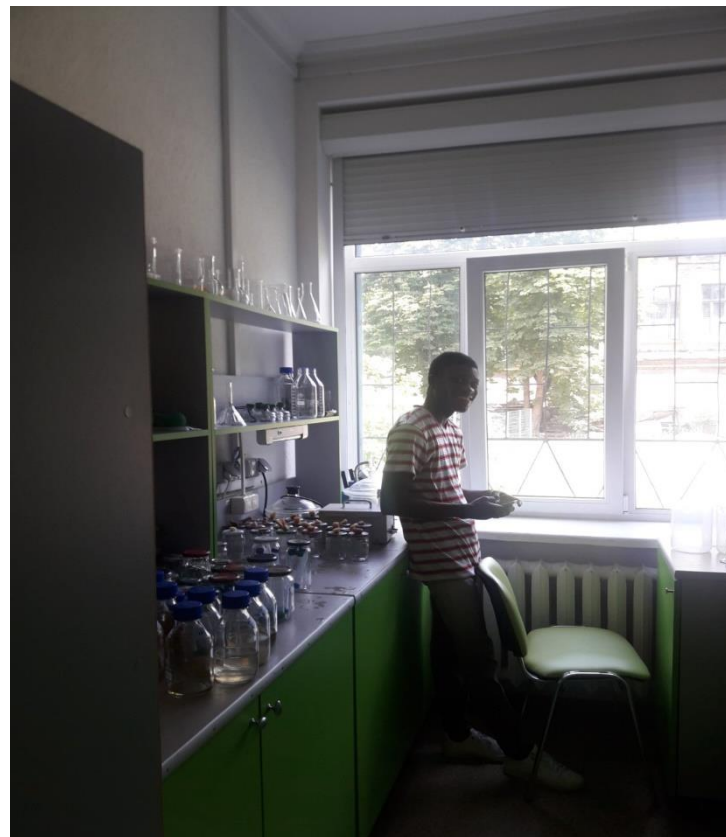
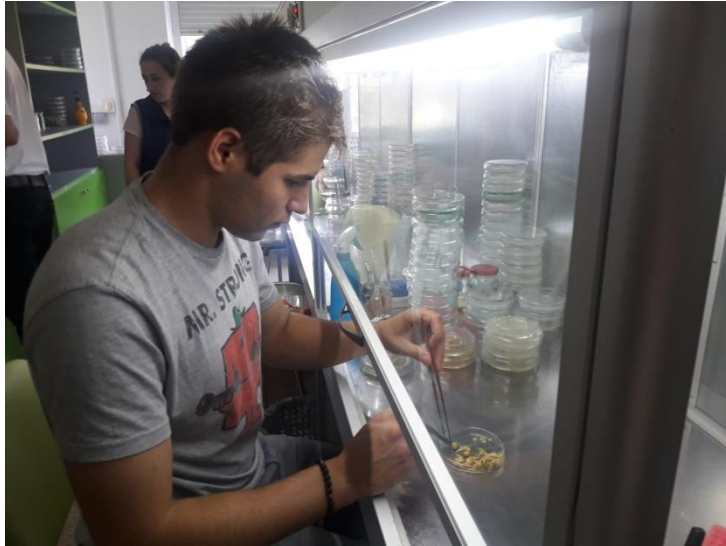


Староста гуртка Дудка Лілія,
4 курс, 2 гр



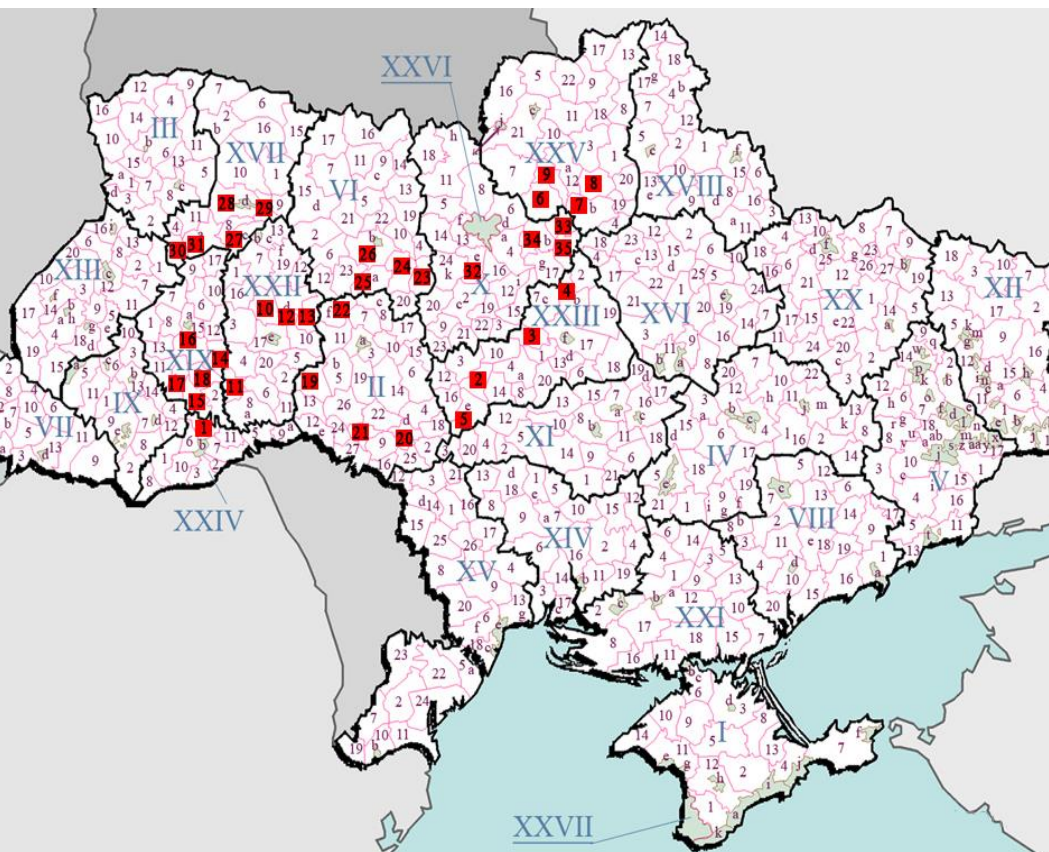
1 Заступник старости гуртка Дзуг Марина,
4 курс, 2 гр

***Наукова спрямованість** гуртка
оволодіння основними методами у
роботі з інфекційним рослинним
матеріалом, проведення діагностики та
ідентифікації вірусів цінних
сільськогосподарських культур різними
методами діагностики, також
ознайомлення з генетичними
особливостями вірусних геномів та з
біотехнологічними методами
оздоровлення рослин.



СКРИНІНГ НА ТЕРІТОРІЇ УКРАЇНИ. ВІДБІР ЗРАЗКІВ.

№	Місце відбору проб
	Чернівецька область
1	Заставнівський р-н
	Черкаська область
2	Маньківський р-н
3	Корсунь-Шевченківський р-н
4	Золотоніський р-н
5	Уманський р-н
	Чернігівська область
6	Бобровицький р-н
7	Прилуцький р-н
8	Ічнянський р-н
9	Носівський р-н
	Хмельницька область
10	Красилівський р-н
11	Чемеровецький р-н
12	Старокостянтинівський р-н
13	Старосинявський р-н
	Тернопільська область
14	Гусятинський р-н
15	Заліщицький р-н
16	Теребовлянський р-н
17	Бучацький р-н
18	Чортківський р-н

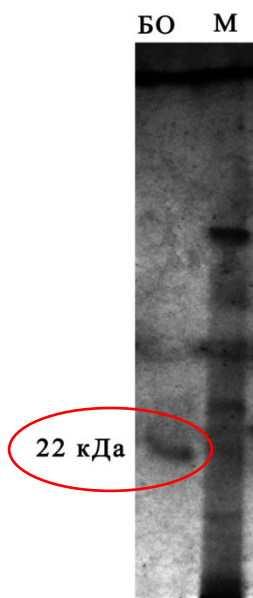


№	Місце відбору проб
	Вінницька область
19	Барський р-н
20	Тростянецький р-н
21	Томашпільський р-н
22	Хмільницький р-н
	Житомирська область
23	Попільнянський р-н
24	Андрушівський р-н
25	Бердичівський р-н
26	Житомирський р-н
	Рівненська область
27	Острозький р-н
28	Рівненський р-н
29	Гощанський р-н
30	Радивилівський р-н
31	Дубенський р-н
	Київська область
32	Васильківський р-н
33	Згурівський р-н
34	Баришівський р-н
35	Яготинський р-н

ВІДБІР ЗРАЗКІВ В АГРОЦЕНОЗАХ ІЗ СИМПТОМАМИ ВІРУСНОГО УРАЖЕННЯ



ОТРИМАННЯ ПОЛІКЛОНАЛЬНИХ АНТИТІЛ



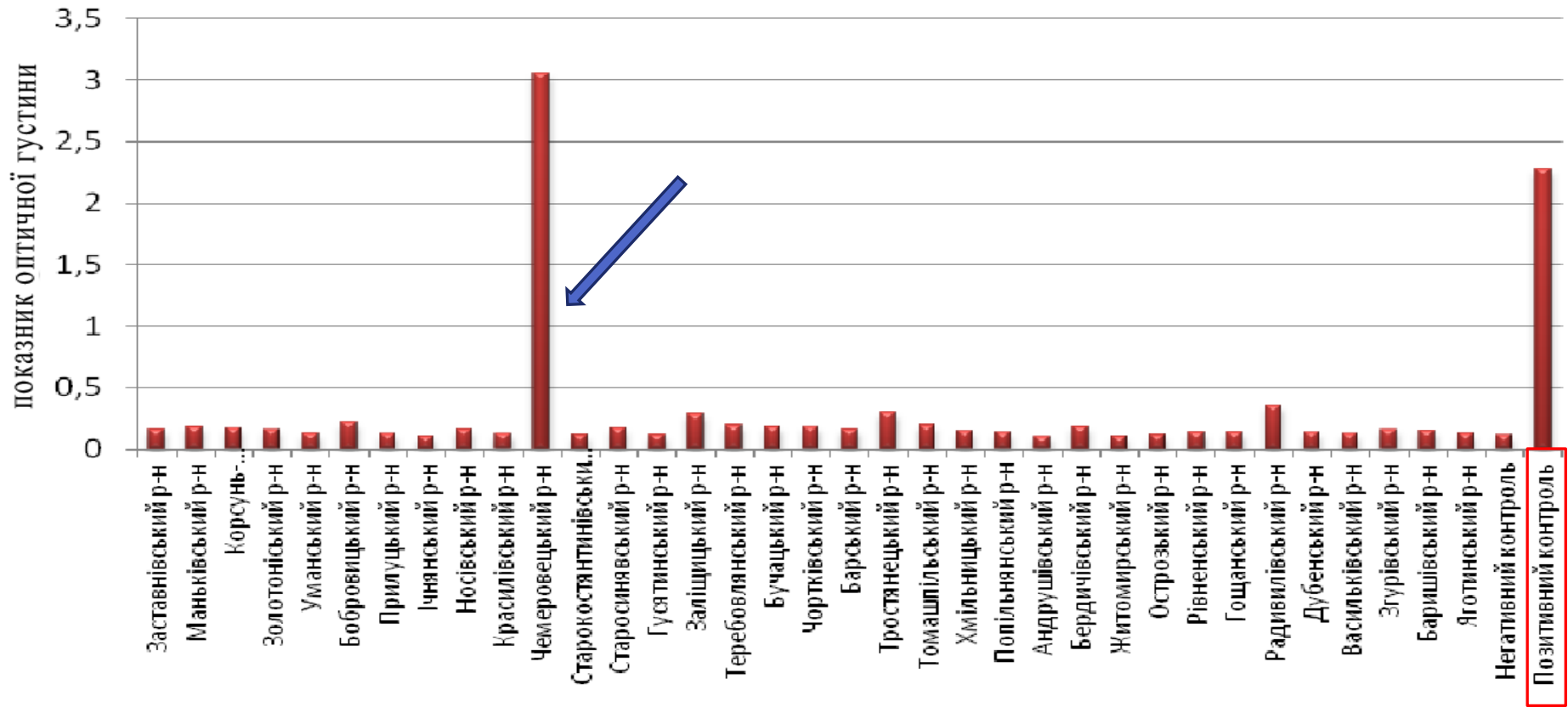
Електрофореграма білка оболонки ВНПЖБ:
БО – вірусний препарат,
М – маркер.

Підтверджена інфекційна природа захворювання рослин цукрових буряків за тріадою Коха
Листкова пластинка рослини-індикатора *B. vulgaris var. saccharifera*: мозайка та посвітління жилки на поверхні листкової пластинки (18 доба після інокуляції).

Результати визначення титру специфічних антитіл до ВНПЖБ

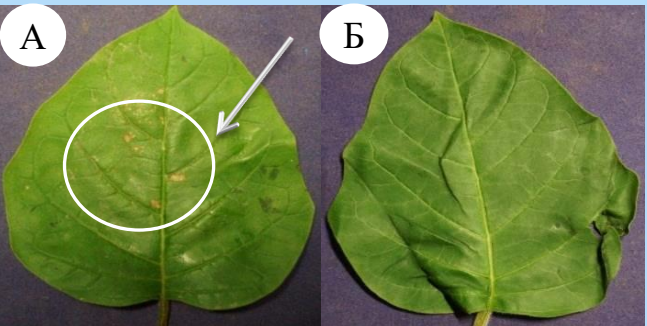
Розведення	Показники оптичної визначення титру антитіл за довжини хвилі 405 нм			Середнє значення	
	Повтори				
	1	2	3		
1:200	1,838	1,841	1,842	1,840	
1:400	1,669	1,666	1,668	1,668	
1:800	1,327	1,326	1,330	1,328	
1:1600	0,957	0,959	0,962	0,960	
1:3200	0,674	0,700	0,708	0,694	
1:6400	0,456	0,476	0,462	0,465	
1:12800	0,234	0,210	0,207	0,217	

НАБУТТЯ НАВИЧОК ПРОВЕДЕННЯ ІМУНОФЕРМНЕТНОГО АНАЛІЗУ

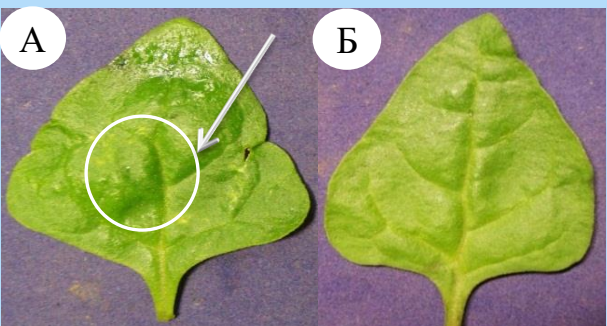


Діаграма імуноферментного аналізу зразків, відібраних в агрофітоценозах України. Отримання навичок роботи з ІФА рідером

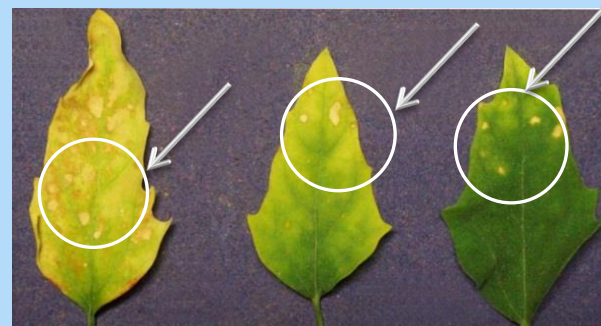
ІДЕНТИФІКАЦІЯ ВІРУСІВ МЕТОДОМ БІОЛОГІЧНОГО ТЕСТУВАННЯ



Листкові пластинки рослини-індикатора *Datura metel* L. :
А – некрози на поверхні листкової пластинки (14 доба після інокуляції);
Б – контроль (без симптомів ураження).



Листкові пластинки рослини-індикатора *Tetragonia expansa* L.
А – некрози на поверхні листкової пластинки,
Б – контроль (без симптомів ураження).



Листкові пластинки рослини-індикатора
Chenopodium murale L.,
симптоми ураження у вигляді некрозів на поверхні листкової пластинки (12 доба після інокуляції).



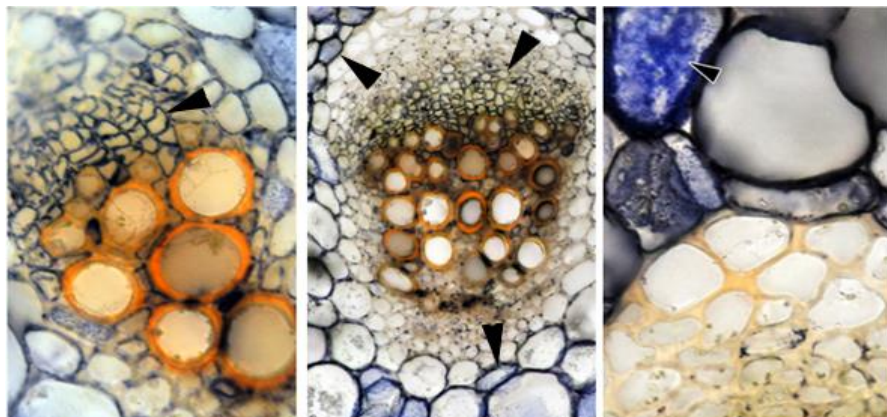
Листкові пластинки рослин-індикаторів
B. vulgaris var. *Saccharifera* L.:
А – мозаїка на поверхні листкової пластинки (21 доба після інокуляції);
Б – контроль (без симптомів ураження).



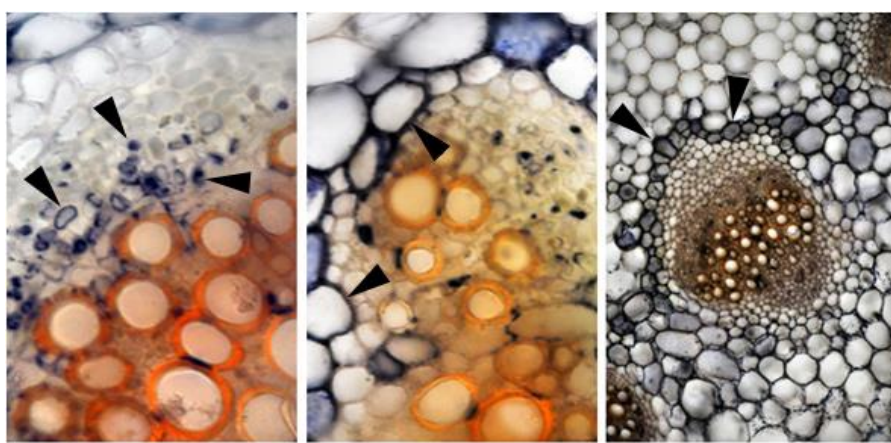
Листкові пластинки рослин-індикаторів:
А – *Gomphrena globosa* L., некрози на поверхні листкової пластинки (14 доба після інокуляції);
Б – *G. globosa*, контроль (без симптомів ураження).

ВПЛИВ ВІРУСНОЇ ІНФЕКЦІЇ НА АКТИВНІСТЬ ПЕРОКСИДАЗИ В ТКАНИНАХ РОСЛИН ЦУКРОВИХ БУРЯКІВ

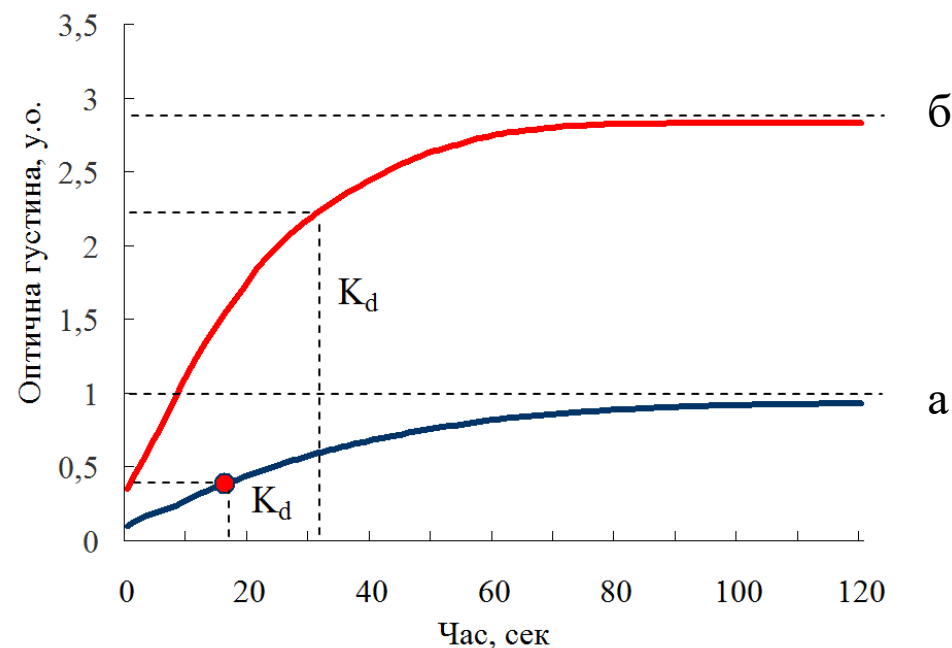
Локалізація пероксидази в тканинах провідних пучків і паренхімі середніх жилок листків цукрових буряків



Неїнфікована рослина



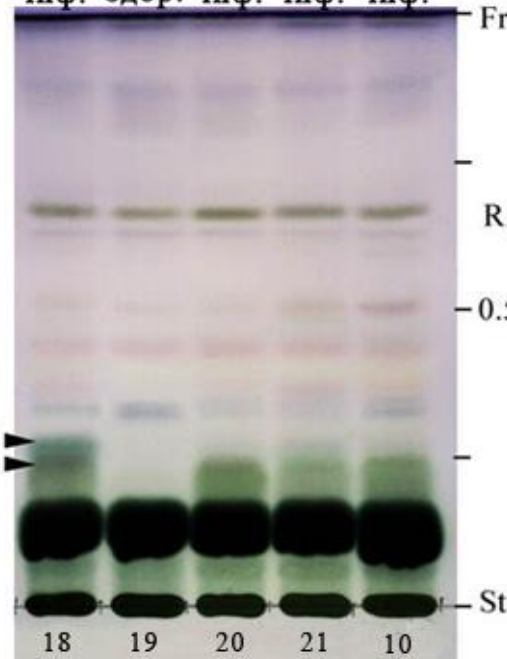
Інфікована рослина



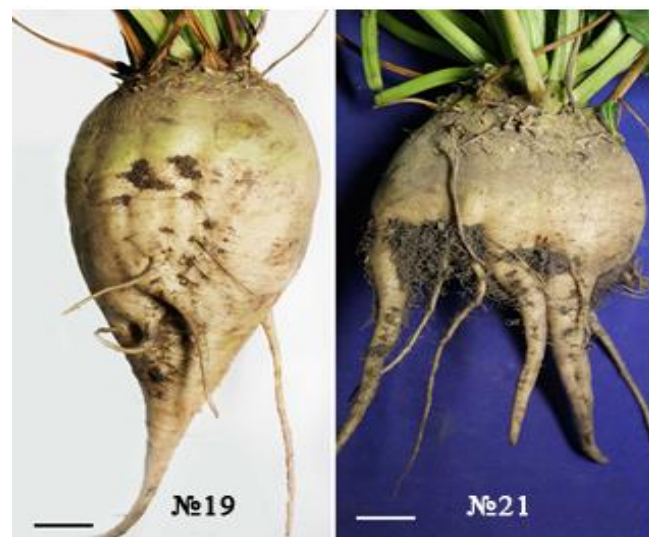
Кінетика ферментативного катализу вільних та слабкозв'язаних з клітинними стінками пероксидаз: а – неїнфікованої, б – інфікованої ВНПЖБ рослини; K_d – час, в який швидкість реакції складає половину від максимальної.

ПРОВЕДЕННЯ ХРОМАТОГРАФІЇ ТЕРПЕНОЇДІВ І ТРИТЕРПЕНОВИХ САПОНІНІВ У ТКАНИНАХ КОРЕНЕПЛОДІВ ЦУКРОВИХ БУРЯКІВ. ДОСЛІДЖЕННЯ ВПЛИВУ ВІРУСІВ НА РОСЛИНИ БУРЯКІВ

інф. здор. інф. інф. інф.

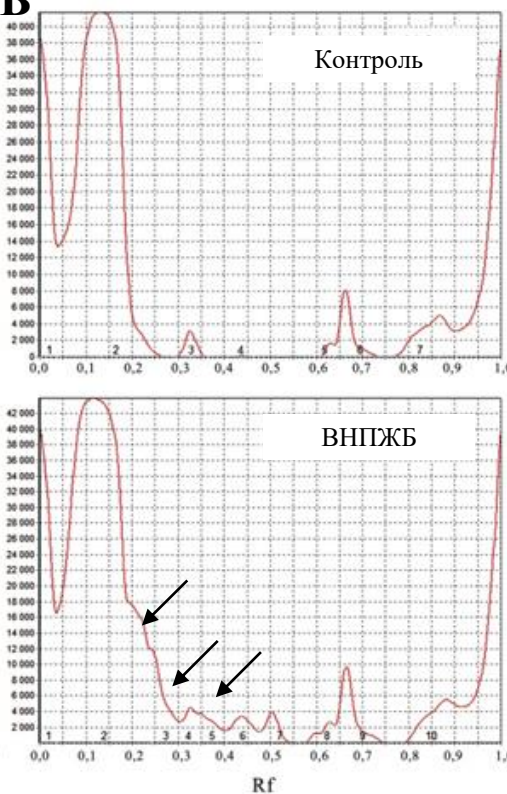


Високоефективна тонкошарова хроматографія етанольних екстрактів коренеплодів цукрових буряків



коренеплід
неінфікованої
рослини

коренеплід
інфікованої
рослини



Фотоденситограма терпеноїдів і тритерпенових сапонінів, що містяться в коренеплодах цукрових буряків

Зразки	Площа піків за показниками Rf, $S \times 10^5$													
	0,12	0,17	0,20	0,24	0,27	0,33	0,36	0,39	0,44	0,50	0,63	0,66	0,88	Σ
№ 19 (Контроль)	24,8	-	-	-	-	0,46	-	-	0,02	-	0,16	1,29	2,08	28,86
№ 10 (ВНПЖБ)	31,8	-	-	1,9	-	0,75	0,88	-	0,92	0,70	0,35	1,82	2,26	41,40

ЕТАПИ ПРОВЕДЕННЯ МОЛЕКУЛЯРНОЇ ДІАГНОСТИКИ МЕТОДОМ ПОЛІМЕРАЗНОЇ ЛАНЦЮГОВОЇ РЕАКЦІЇ

Відбір зразків рослин в агроценозах

Екстракція сумарної РНК

Отримання комплементарної ДНК

Полімеразна ланцюгова реакція

Електрофоретичне розділення молекул
ДНК

Візуалізація продуктів ампліфікації в УФ
променях

Розробка праймерів

Оптимізація параметрів
проведення ПЛР:
- за температурою
відпалу праймерів
- за концентрацією іонів
Магнію

БІОІНФОРМАТИВНИЙ АНАЛІЗ КУЛЕОТИДНИХ ПОСЛІДОВНОСТЕЙ ВНПЖБ

The screenshot shows a search results page from PubMed. At the top, there are links for NCBI, Resources, How To, PubMed, and Advanced search. The main content area has a dark header with the text "Sequences producing significant alignments:" and "Select: All None Selected:100". Below this is a table with columns: Description, Max score, Total score, Query cover, E value, Ident, and Accession. The table lists 15 entries, each with a checkbox and a link to the sequence details. The descriptions include various virus isolates and their specific genes (e.g., CP gene, coat protein). The last entry is for the Beet necrotic yellow vein virus CP gene for coat protein, isolate: IF3.

Description	Max score	Total score	Query cover	E value	Ident	Accession
<input checked="" type="checkbox"/> Beet necrotic yellow vein virus strain AG9 CP gene, complete cds	1048	1048	100%	0.0	100%	KR825247.1
<input checked="" type="checkbox"/> Beet necrotic yellow vein virus strain S8 segment RNA 2 read-through coat protein, coat protein, t	1048	1048	100%	0.0	100%	EU330452.1
<input checked="" type="checkbox"/> Beet necrotic yellow vein virus strain E12 segment RNA 2 read-through coat protein, coat protein,	1042	1042	100%	0.0	99%	EU330451.1
<input checked="" type="checkbox"/> Beet necrotic yellow vein virus isolate 1EU coat protein (CP) gene, complete cds	1042	1042	100%	0.0	99%	AY696070.1
<input checked="" type="checkbox"/> Beet necrotic yellow vein virus isolate A coat protein (CP) mRNA, complete cds	1042	1042	100%	0.0	99%	AY920465.1
<input checked="" type="checkbox"/> Beet necrotic yellow vein virus P75 gene for capsid protein and P21 gene for coat protein, genon	1042	1042	100%	0.0	99%	AJ634735.1
<input checked="" type="checkbox"/> Beet necrotic yellow vein virus isolate IV-8 coat protein gene, complete cds	1038	1038	100%	0.0	99%	AY771346.1
<input checked="" type="checkbox"/> Beet necrotic yellow vein virus CP gene for coat protein, complete cds, isolate: HUM1	1037	1037	100%	0.0	99%	AB563021.1
<input checked="" type="checkbox"/> Beet necrotic yellow vein virus CP gene for coat protein, complete cds, isolate: SLN1	1037	1037	100%	0.0	99%	AB563019.1
<input checked="" type="checkbox"/> Beet necrotic yellow vein virus CP gene for coat protein, complete cds, isolate: I81	1037	1037	100%	0.0	99%	AB563010.1
<input checked="" type="checkbox"/> Beet necrotic yellow vein virus CP gene for coat protein, complete cds, isolate: USM	1037	1037	100%	0.0	99%	AB563030.1
<input checked="" type="checkbox"/> Beet necrotic yellow vein virus CP gene for coat protein, complete cds, isolate: IF3	1037	1037	100%	0.0	99%	AB563001.1

ATGTCGAGTGAAGGTAGATATGACATGGAAGGATATGTCACATAATAaGTTTATGACCGATC
GATGGGCcCGTGTTCCGGACGTCGTGAGTGTATTAAACAATCGCATGCTATGGACTTGTCCAA
GGCTGCGAATCTATCTATAATTAAAAGCTGCTTGGCAGGATTAGGCTGGGTGGaCTGACAAT
AATCCTTTGTGTCcCCGATGACCCGTTTCCACAGACACTAACTATGTAcGGTGCaCTTGTGT
TATAATGTTAACCTGTCtGACCCAGAAATTGCGTTGATAATGACTAAGtAAAGTACTTTAACTGA
TTCAGGGTAGCAGATAAtGCATCTGCTAAIGTgCGTAGAGATGTGGTGTcGGAAATAAAGCc
GAATCATCCGGTAAAAGCTGCTGGcACTAATGAGAAtCTGCTTAtACGCTTACCGTtAGTCTTG
CTGGTTTgGCTCAAGCTCTAGGCTTGAGGAATTAAATGTGGACTCGGGATAAaGTTGAGGACCG
GTTgAAaTTACCATGGACACCTGTTCAAGTAGAACCAAGTCCACCCGGACAAATAG

Результат вирівнювання нуклеотидних послідовностей гена Р21, що кодує БО ВНПЖБ.

Консервативні (заглавні літери) та поліморфні (прописні літери) ділянки генома ВНПЖБ.

Міжнародний генетичний банк даних

РОЗРОБКА ПЛР ТЕСТ-СИСТЕМИ ДЛЯ ІДЕНТИФІКАЦІЇ БІЛКА ОБОЛОНКИ (Р21) ВНПЖБ

145 ATGTCGAGTGAAGGTAGATATAATGACATGGAAGGGATATGTCACATAATAAaGTTTATGAC
X

205 GATCGATGGGccCGTGTTCGGACGTCGIGAGTGTATTAAACAATCGCATGCTATGGA
X

265 TTGTCCAAGGCTGCGAACATCTATCTATAATTAAAACGTCTTGGCAGGATTAGGCTCGGG

305 TGGaaCTGACAATAATCCTTTGIGTCcCCGATGACCGTTTCCACAGACACTAACTAT
X X >>>>>>>>>>>>>

365 TA^cGGTGCaCTTGTGTTATATGTTAACATCTGCTgGACCCAGAATTGCGTTGATAATGAC
XXXXXX X

405 AAGgTA_AgTACTTTAACTGATTCA_GGGGTTAGCAGATAAtGCATCTGCTAACATGtgCGTAG
XXXXXX XXXXXXXXXX

465 GATGTGGTGT^CGGAAATAAA^GCcGAATCATCCGGTAAA^ACTGCTGG^CACTAACATGAGAA
XXXXXXXXXXXX <<<<<<<<<<<<<<<XXXXXX

505 TCTGCTTAtACGCTTAC^CGTtAGCTTGTGCTGGT^TgGCTCAAGCTCTAGGCTTGGAGGA
XXXXXXXXXXXXXXXXXXXXXXXXXXXXXX

565 TTAATGTGGACTCGGGATA_AgTTGAGGACCGGTTgAAaTTACCATGGACACCTGTTCA
XXXXXXXXXXXXXX

605 GGTAGAACCCAGTCACCCGGACAA^TAG

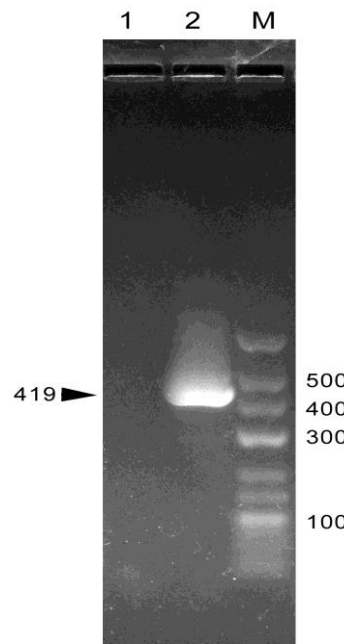
Локалізація ділянок відпалу підібраних пар праймерів на матриці консенсусної послідовності відкритої рамки зчитування, що кодує БО ВНПЖБ. F – прямий праймер, R – зворотній праймер.

Вимоги до праймерів:

- нуклеотидний склад праймеру має бути представлений на 40–60 % (GC-склад);
 - праймери не повинні формувати стабільні шпилькові структури та димери;
 - мають бути суверо специфічні до одного вірусу;
 - на 3'-кінці праймеру повинні бути як мінімум два нуклеотиди, які не гомологічні нуклеотидній послідовності геномів таксономічно близьких вірусів;
 - температура відпалу праймеру має становити 60 °C і вище, а розбіжність між ними мінімальна.

Положення відпалу праймера на матриці РНК-2	Нуклеотидна послідовність 5'-3'	Температура відпалу, °C	GC- склад, %	Розмір продукту, п. н.
Forward (Прямий) 222-241	ttcggacgtcgtagtgta	60,30	50,00	419
Reverse (Зворотній) 621-640	cccgagtcacattaattcc	59,24	50,00	12

ВІДПРАЦЮВАННЯ МЕТОДУ ПЛР

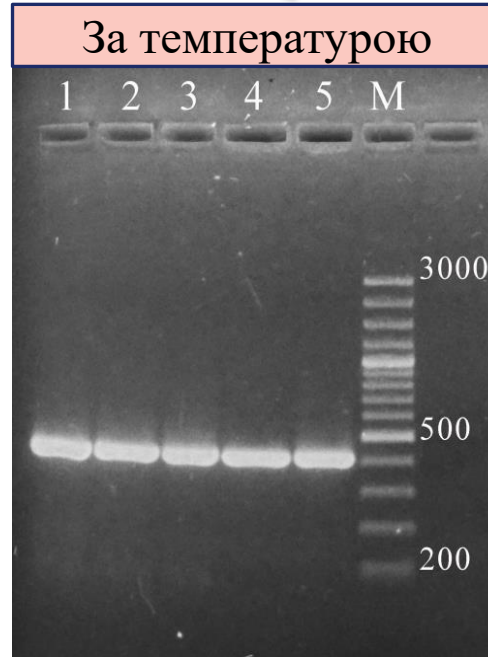


Електрофорограма продуктів ПЛР аналізу ураженого зразка цукрового буряку визначення ВНПЖБ .

1 – негативний контроль,
2 – зразок,

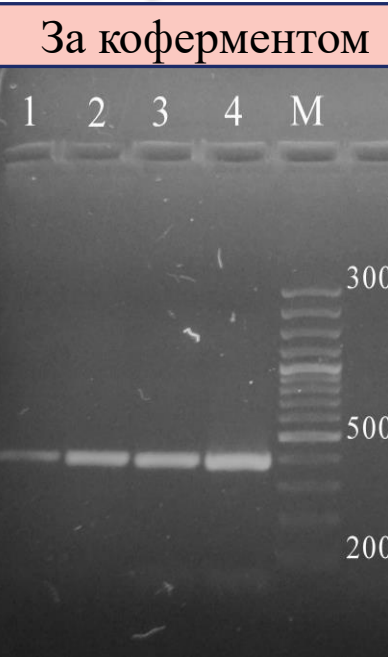
М – маркер довжин фрагментів (пар нуклеотидів).

ОПТИМІЗАЦІЯ ПАРАМЕТРІВ ПРОВЕДЕННЯ ПЛР



Електрофорограма позитивного зразку ВНПЖБ з температурами відпалу праймерів.
1 – 54 °C, 2 – 56 °C,
3 – 58 °C, 4 – 60 °C,
5 – 62 °C,

М – маркер довжин фрагментів (пар нуклеотидів).



Електрофорограма позитивного зразку ВНПЖБ з різними концентраціями іонів магнію:

1 – 1,3 mM, 2 – 1,8 mM,
3 – 2,0 mM, 4 – 2,5 mM.

М – маркер довжин фрагментів (пар нуклеотидів).

РОЗРОБКА ПЛР ТЕСТ-СИСТЕМ ДЛЯ ІДЕНТИФІКАЦІЇ СЕГМЕНТІВ ГЕНОМА ВНПЖБ

Ген Р237

Ген Р75

Ген Р42

Ген Р13 РНК-2

Ген Р14

Ген Р15

ІДЕНТИФІКАЦІЯ СЕГМЕНТІВ РНК УКРАЇНСЬКОГО ІЗОЛЯТУ ВНПЖБ

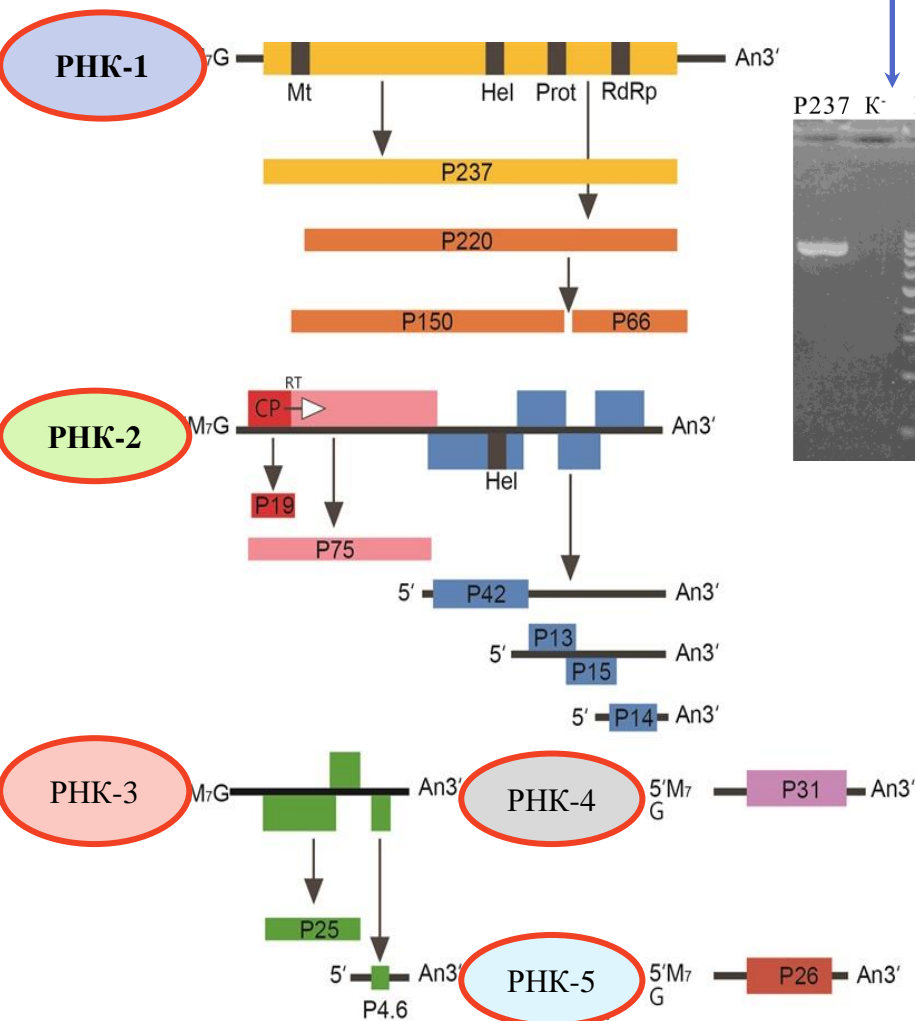
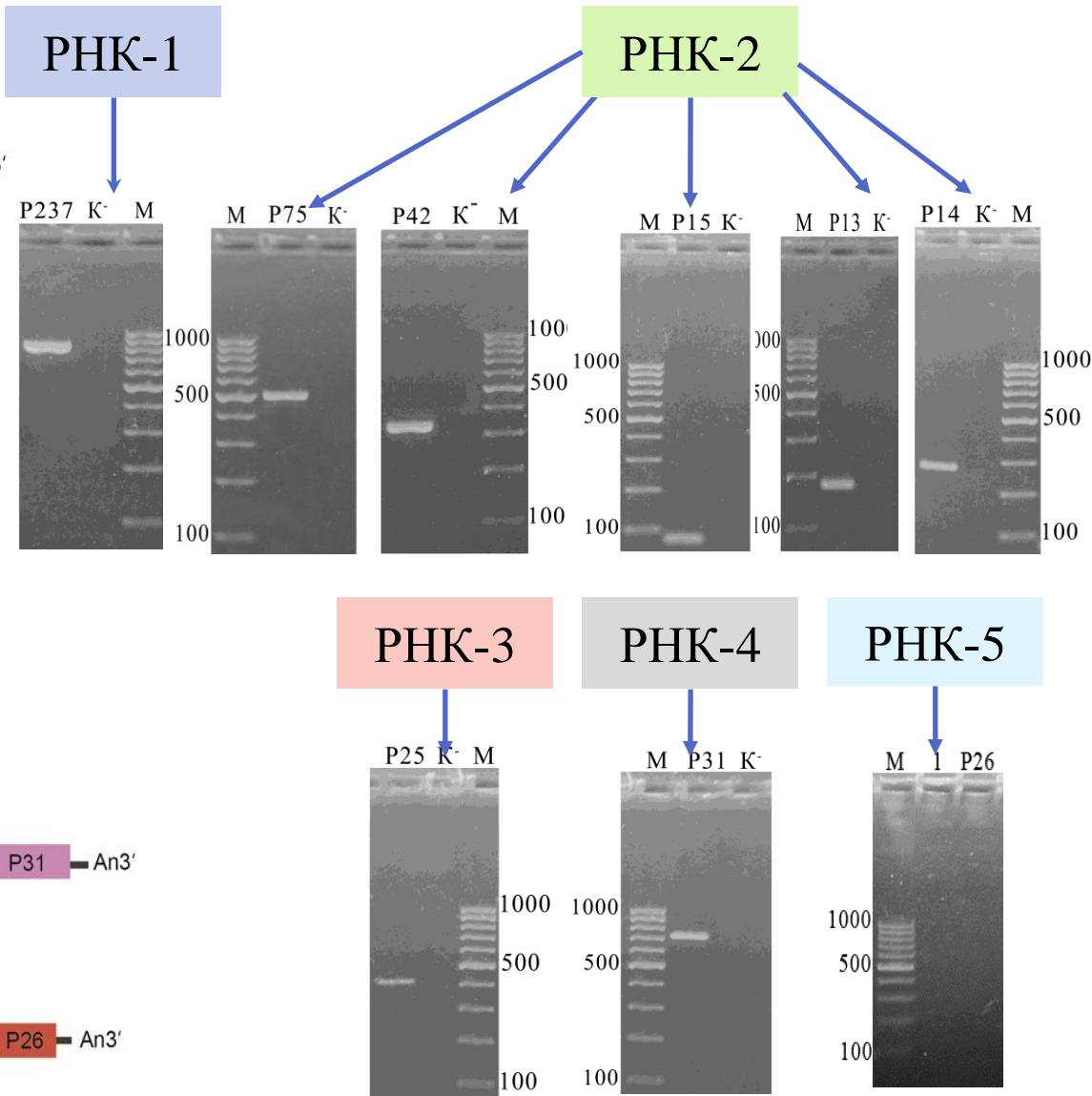
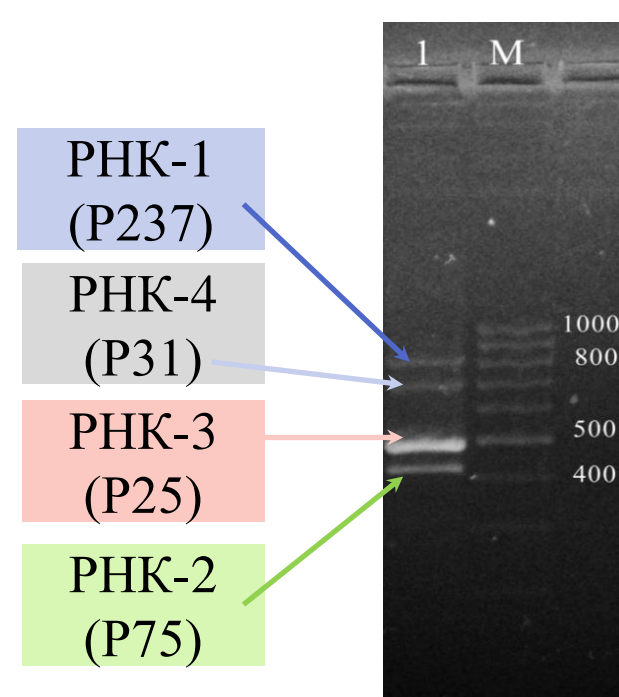
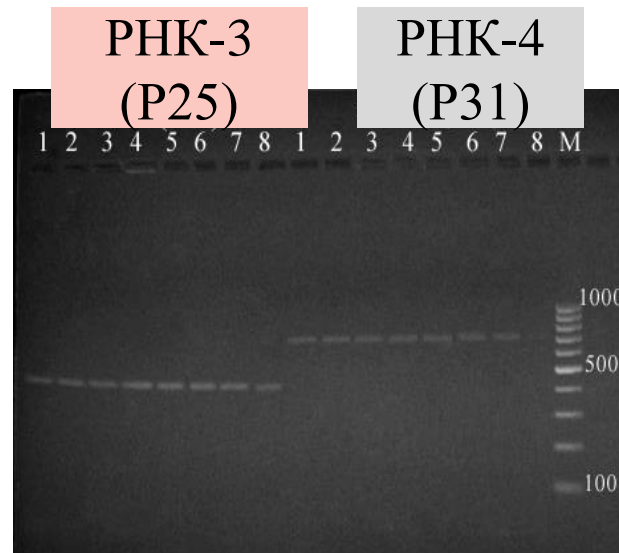
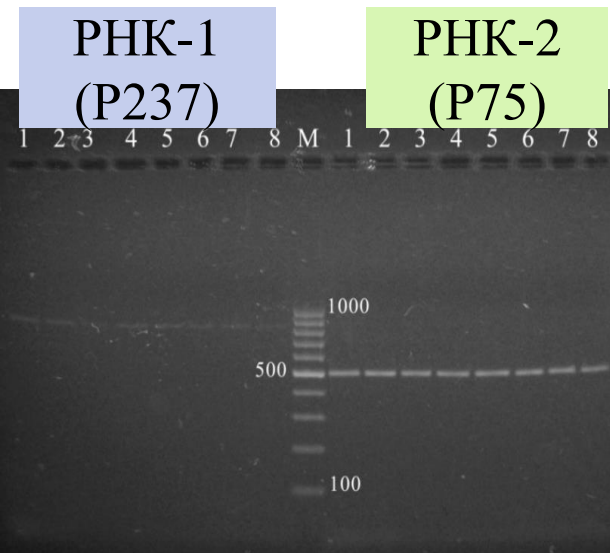


Схема організації генома ВНПЖБ і процесу трансляції



Електрофореграми ідентифікації сегментів РНК ВНПЖБ

ОПТИМІЗАЦІЯ ПАРАМЕТРІВ ПРОВЕДЕННЯ ПЛР. ПРАКТИЧНІ НАВИЧКИ ПРОВЕДЕННЯ ПЛР АНАЛІЗУ. ПІДБІР РІЗНИХ РЕЖИМІВ.



Електрофореграми оптимізації температури відпалу праймерів для ідентифікації сегментів

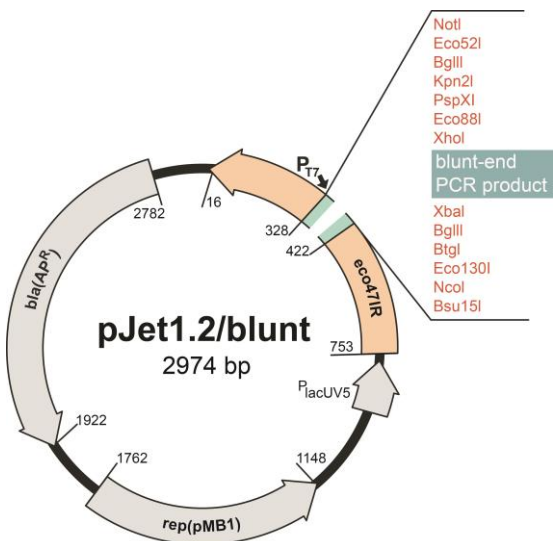
PHK-1, PHK-2, PHK-3, PHK-4:

1 – 50 °C, 2 – 52 °C, 3 – 54 °C, 4 – 56 °C,
5 – 58 °C, 6 – 60 °C, 7 – 62 °C, 8 – 64 °C,

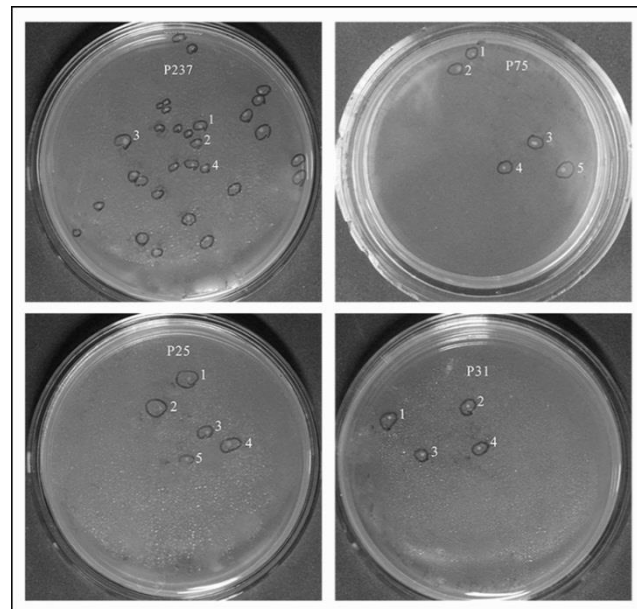
М – маркер довжин фрагментів (пар нуклеотидів).

Електрофореграма сегментів PHK ВНПЖБ методом мультиплексного ПЛР-аналізу.

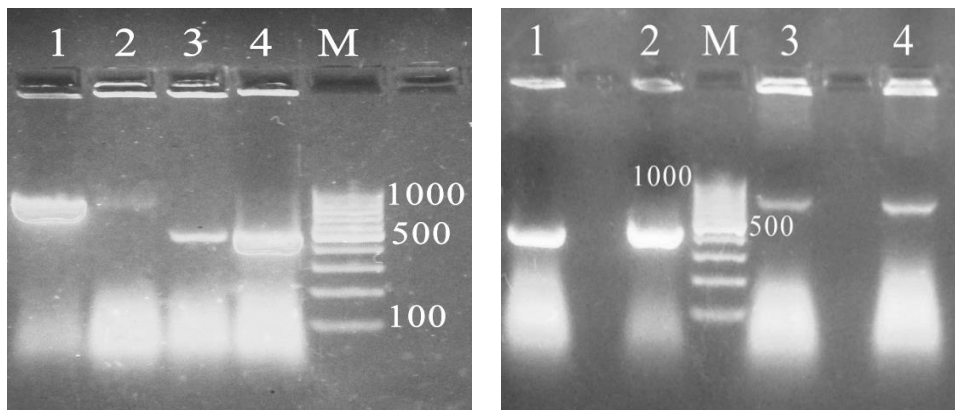
ПРОВЕДЕННЯ ГЕНЕТИЧНОЇ ТРАНСФОРМАЦІЇ ТА ОТРИМАННЯ БАКТЕРІАЛЬНИХ КЛОНІВ



Будова вектора pJet1.2/blunt та унікальні сайти рестрикції. Показано місце клонування отриманих продуктів ампліфікації послідовностей генів ВНПЖБ.

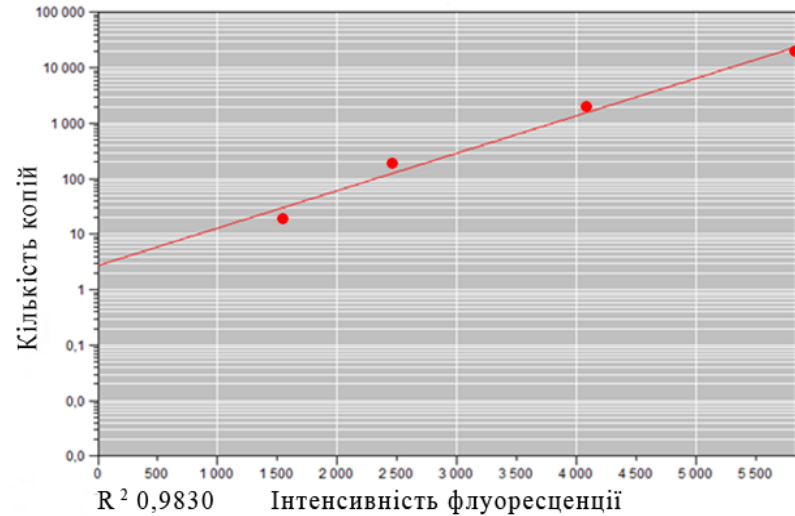
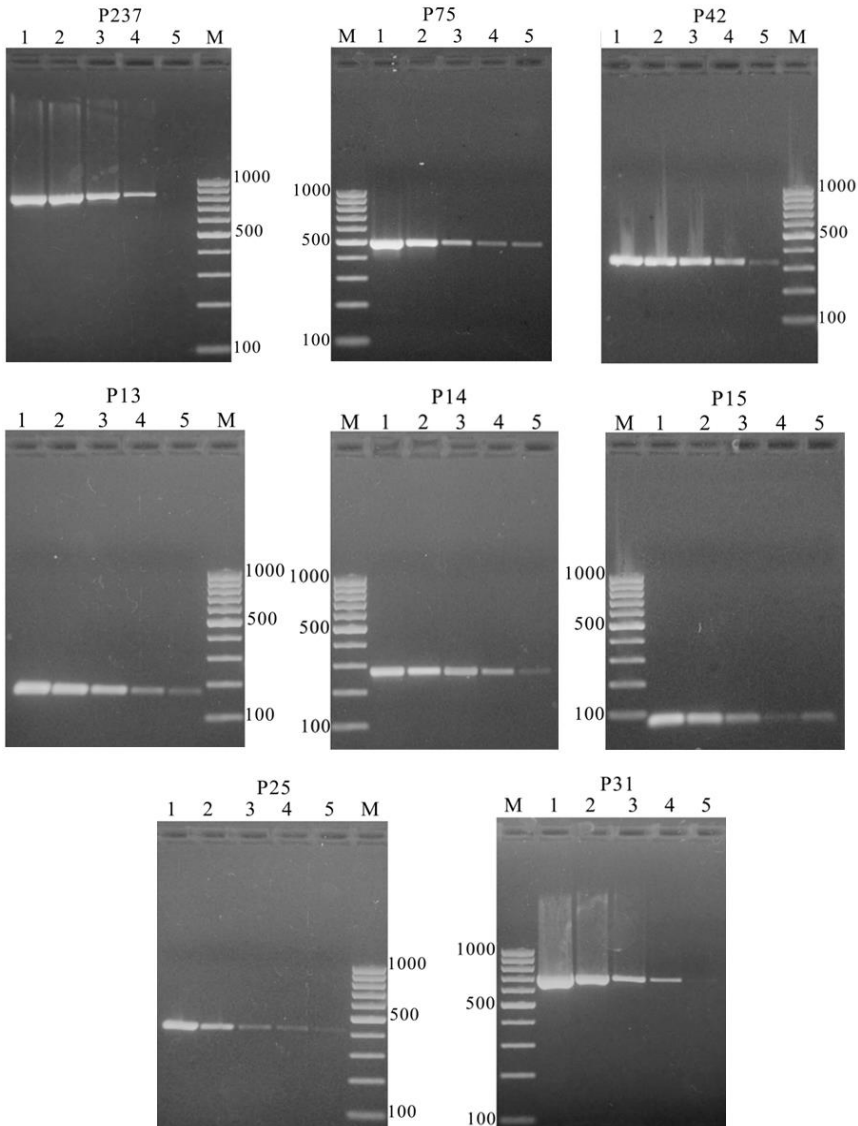


Бактеріальні клони в селективному LB середовищі, трансформовані вектором, що містить вставки ПЛР-фрагментів ВНПЖБ кожного з сегментів РНК.



Електрофореграми продуктів ПЛР-аналізу клонів:
номер треку відповідає номеру колонії бактерії, М – маркер молекулярної ваги.

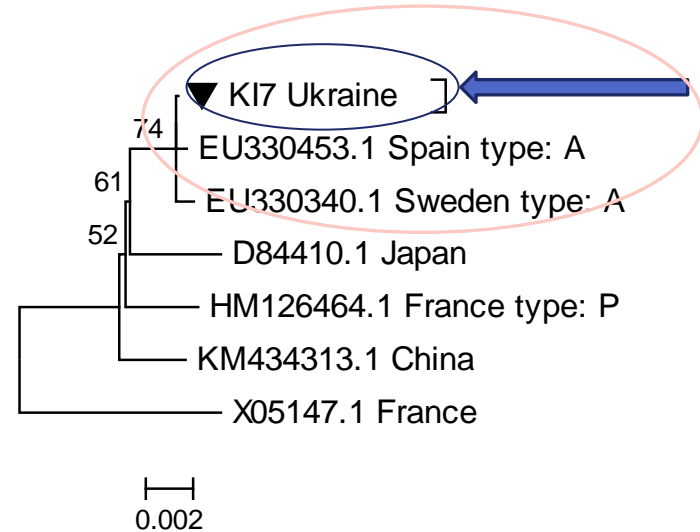
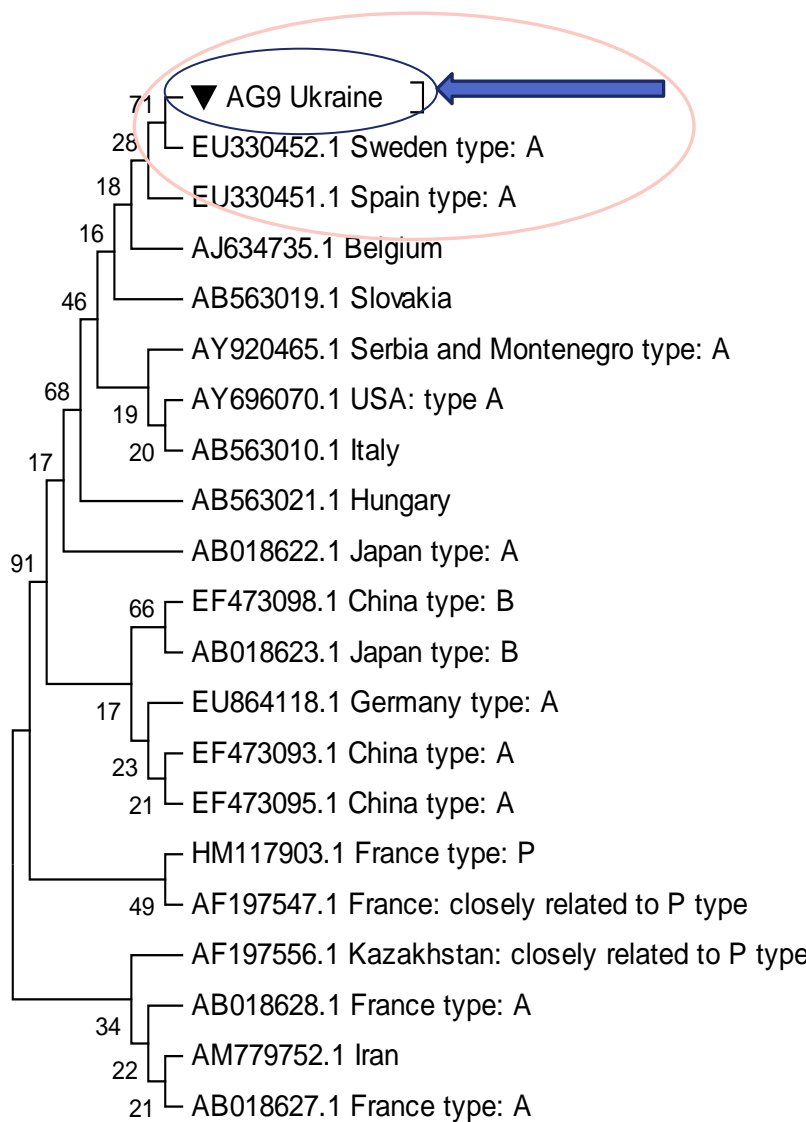
СТВОРЕННЯ ПЛАЗМІДНИХ СТАНДАРТІВ



Калібрувальний графік залежності інтенсивності флуоресценції від логарифму початкової концентрації ДНК стандартів.

Електрофореграми ампліфікації серії розведень плазміди з клонованими фрагментами відповідних генів ВНПЖБ.

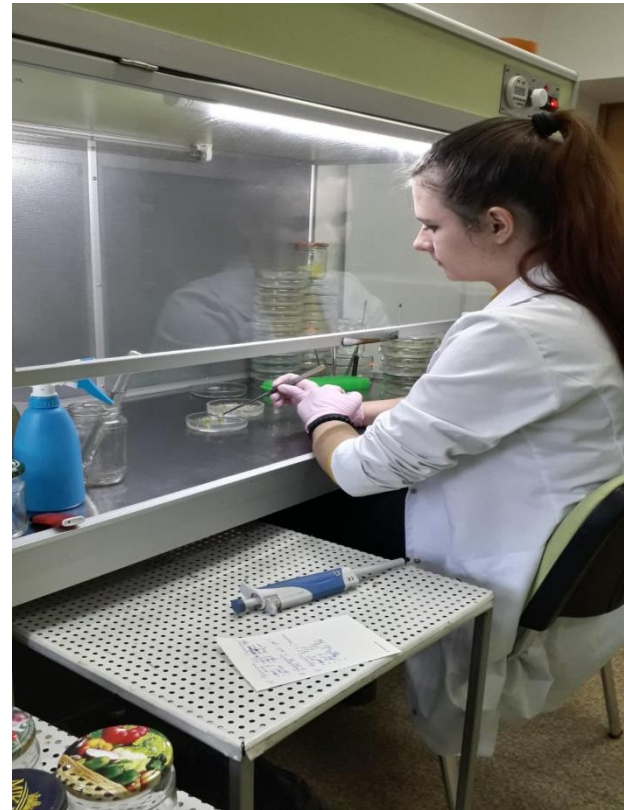
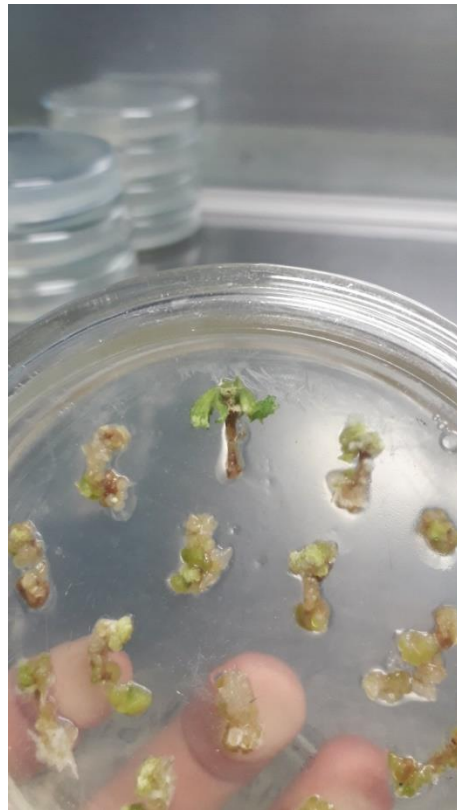
НАБУТТЯ НАВИЧОК РОБОТИ З БІОІНФОРМАТИВНИМИ БАЗАМИ ДАННИХ



Філогенетичне дерево нуклеотидних послідовностей фрагменту РНК-1 українського ізоляту ВНПЖБ та відомих ізолятів ВНПЖБ.

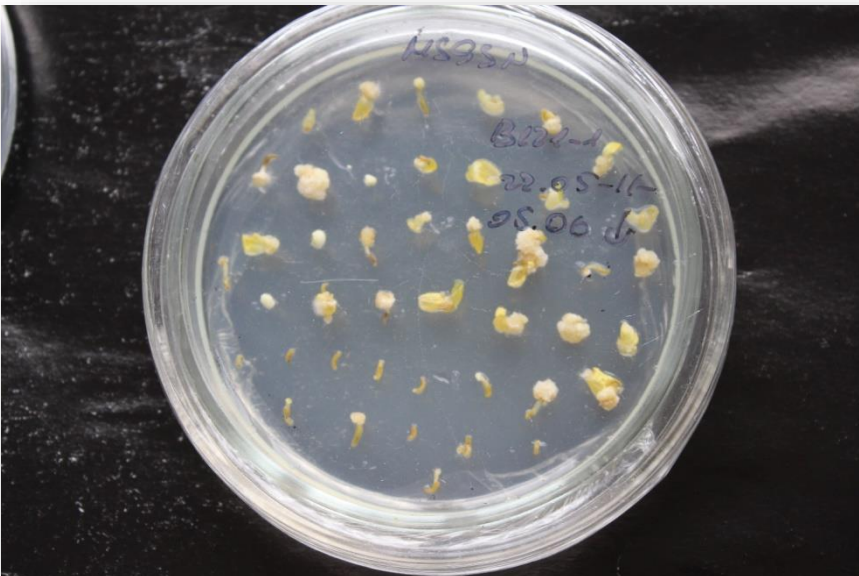
Філогенетичне дерево нуклеотидних послідовностей гену БО українського ізоляту ВНПЖБ та відомих ізолятів ВНПЖБ.

Біотехнологічні методи оздоровлення рослин від фітопатогенів та отримання клонів рослин з бажаними ознаками



*Отримання соматичних ембріоїдів ріпаку
озимого з пилляків*

*

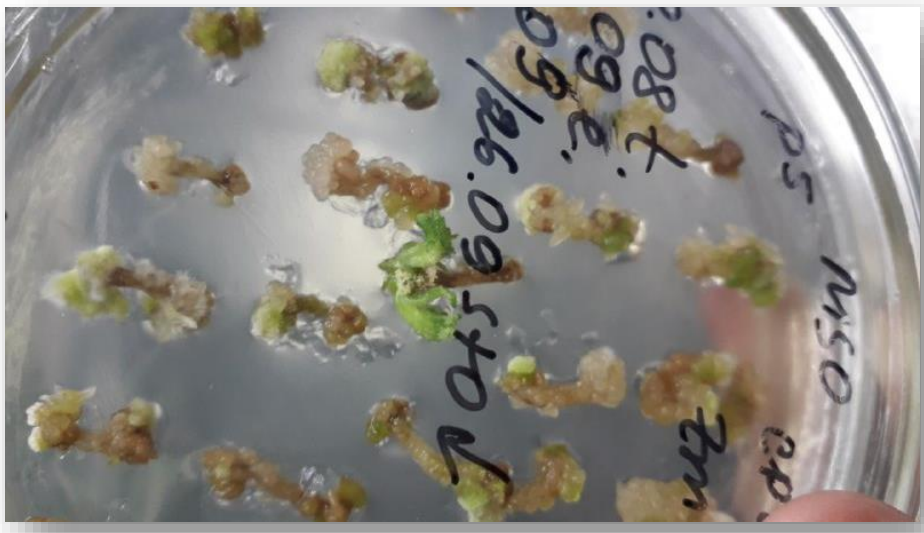


**агрощування агробактерій
калюсу на гілоктилях**



Нарощування агробактерії та отримання калюсу

на Brassica



СТУДЕНТИ ЗА ЧАС РОБОТИ В ГУРТКУ:

- * - набувають практичних навичок по проведенню полімеразної ланцюгової реакції;
- * - набувають практичних навичок з імуноферментними методами роботи та хроматографічними;
- * - ознайомлються з біоінформативними методами дослідження вірусних геномів;
- * - оволодівають практичними методами створення генетичних конструкцій;
- * - практикують біотехнологічні методи створення генетично модифікованих рослин, використовуючи частини вірусних геномів (культура тканин, ~~*~~ отримання соматичних ембріоїдів, а також власне процес генетичної трансформації – agrobacterium-опосередкова трансформація, прямі методи трансформації - електропорація);

*ДЯКУЮ ЗА УВАГУ

